

О ПРИРОДЕ ОН-ИСТОЧНИКОВ ВБЛИЗИ ОСТАТКА СВЕРХНОВЫХ

C. A. Пустыльник

Предлагается модель OH-источника на основе глобулы, обжимаемой горячим газом остатка Сверхновой. Рассматривается образование OH-молекул за фронтом ударной волны, идущей по глобуле. В расчете мазера используются результаты Литвака [4] для инфракрасной накачки. Результаты расчетов удовлетворительно согласуются с наблюдениями. Модель дает интересное предсказание: OH-источник должен быть окружен областью НII с $T \sim 20\ 000^\circ\text{K}$ и $M\text{E} \sim 10^6$. Наблюдение такой области принципиально возможно.

A model is suggested of an OH-source based on a globule compressed by the hot gas of a Supernova remnant. The formation of OH-molecules behind the shock-wave front propagating through the globule is considered. In the maser calculation the results of Litvak [4] are used for the infrared pumping mechanism. The results satisfactorily agree with an observations. The model gives an interesting prediction that OH-sources must be surrounded by H II regions with $T \sim 20\ 000^\circ\text{K}$ and $M\text{E} \sim 10^6$. Observation of such regions is possible.

1. Введение

Мазерные источники OH были открыты в 1965 г. группой Уивера [1]. При дальнейшем исследовании выяснилось, что OH-мазеры в космосе не образуют однородной группы, а могут быть разделены на четыре класса. По-видимому, основой такого разделения должна быть физическая связь с различными космическими объектами. С этой точки зрения мазерные OH-источники можно разделить на классы источников, ассоциирующих с областями ионизованного водорода (W3, W49), с инфракрасными звездами (NML Cyg, VY CMa), с областями нетеплового радиоконтинуума — остатками Сверхновых (W28, W44) и с темными облаками Хейлеса. Источники разных классов отличаются по своим наблюдаемым свойствам, важнейшими из которых являются: яркостная температура, размеры, радиолинии, наблюдаемые в поглощении и эмиссии, поляризация, переменность.

Соображения о природе OH-источников, ассоциирующих с областями НII и инфракрасными звездами, были высказаны в работах [2] и [3] соответственно. Гипотезу о природе OH-источников, ассоциирующих с остатками Сверхновых, по-видимому, впервые высказал Литвак [4]. Он предполагал, что источником накачки мазера может быть излучение пыли в далеком инфракрасном диапазоне ($\lambda \sim 100\text{ мк}$), нагретой до $T \sim 100^\circ\text{K}$ потоком релятивистских электронов в остатке Сверхновой.

В настоящей работе рассматривается другая возможность — взаимодействие горячего газа остатка Сверхновой с встретившимся на пути плотным газопылевым облаком типа глобулы. Показывается, что при прохождении по глобуле ударной волны могут возникать условия для мазер-

ного усиления в линии OH 1720 МГц. Обсуждаются наблюдения, которые помогут понять, насколько предлагаемая модель соответствует реальности.

2. Характеристики OH-источников вблизи остатков Сверхновых. Физические параметры, получаемые из наблюдений

Мазерные OH-источники вблизи остатков Сверхновых имеют характерные особенности, которые необходимо объяснить при построении модели. Во-первых, их размеры значительно больше, чем размеры мощных OH-мазеров вблизи инфракрасных звезд и в областях HII, для которых типичны величины $10^{14} \div 10^{15}$ см. Так, например, размер OH-источника в W28 по межпланетным мерцаниям больше $10''$, что при расстоянии в 3 кпс соответствует размерам больше $5 \cdot 10^{16}$ см [5]. С другой стороны, точные определения положений OH-источников, проведенные в [6], дают также верхнюю границу размеров. Для того же источника в W28 это размер порядка $5 \cdot 10^{17}$ см. Во-вторых, усиление в OH-источниках в остатках Сверхновых сравнительно небольшое, порядка $10^4 \div 10^6$, соответственно для верхней и нижней границы размеров, в то время как в мощных мазерах в области HII и в окрестностях инфракрасных звезд оно достигает 10^{10} и более, а в облаках Хейлеса лишь немного превышает единицу. Таким образом, по этим двум параметрам — размерам и усилию — OH-мазеры в остатках Сверхновых занимают, по-видимому, промежуточное положение между мощными мазерами в HII-областях и вблизи инфракрасных звезд с одной стороны, и довольно разреженными, слабо усиливающими облаками Хейлеса, с другой. Как показано недавно в работе [7], рассеяние на неоднородностях электронной плотности в этих случаях не дает эффекта и наблюдаемые размеры соответствуют реальным размерам OH-мазеров.

Еще одной характерной особенностью OH-мазеров в остатках Сверхновых является то, что мазерное излучение происходит лишь в линии 1720 МГц, при этом в линии 1612 МГц наблюдается аномальное поглощение, а в линиях 1665 и 1667 МГц наблюдается нормальное поглощение. В отличие от мощных мазеров, показывающих сильную, иногда стопроцентную поляризацию, OH-мазеры в остатках Сверхновых показывают слабую поляризацию, иногда ниже уровня обнаружения.

Ширины линий соответствуют допплеровским скоростям порядка нескольких километров в секунду. По-видимому, это скорости макроскопического движения, так как если бы ширины линий были обусловлены тепловым движением молекул OH, это соответствовало бы слишком большим температурам: $(4 \div 5) \cdot 10^3$ К.

3. Предварительное обоснование модели и параметры глобул

По существующим представлениям мазерные OH-источники имеют высокую плотность, которая необходима для обеспечения большого усиления при их относительно скромных размерах. Различные оценки дают для n_{H} — плотности атомов водорода от 10^5 до 10^9 см^{-3} и выше [8]. В случае OH-источников вблизи инфракрасных звезд такие плотности связывают с расширяющимися оболочками этих звезд, где, по-видимому, и происходит мазерное усиление [3]. В случае OH-мазеров в HII-областях высокие плотности связывают с протозвездами, образующимися здесь же [2, 9, 10]. Размеры этих мазеров, полученные с помощью интерферометрии со сверхдлинными базами, порядка $10^{14} \div 10^{15}$ см и меньше. Из более протяженных объектов, являющихся кандидатами в мазерные, OH-источники в остатках Сверхновых, более всего на эту роль подходят

так называемые глобулы. Глобулы наблюдаются обычно на фоне ярких эмиссионных областей в виде маленьких, сильно поглощающих, черных круглых пятен. В таблице приводятся наблюдательные данные по глобулам, взятые из [11]. Мы остановимся на модели ОН-источника в остатке Сверхновой, привлекающей для объяснения мазерного излучения глобулу, взаимодействующую с горячим газом остатка Сверхновой, приведя предварительно дополнительные косвенные свидетельства возможности такой ситуации. Согласно современным представлениям [12], вспыхивать, как Сверхновые II типа, могут массивные, быстро эволюци-

Радиус		Наиболее вероятная масса (в предположении, что $M_{\text{пыли}} : M_{\text{газа}} = 1 : 100$)	Средняя плотность, $\text{г}/\text{см}^3$
пс	см		
Большие глобулы			
1.1	$3.3 \cdot 10^{18}$	$70 M_{\odot}$	10^{-22}
0.4	$1.2 \cdot 10^{18}$	$30 M_{\odot}$	$0.84 \cdot 10^{-20}$
0.3	$9 \cdot 10^{17}$	$20 M_{\odot}$	$1.5 \cdot 10^{-20}$
0.14	$4.2 \cdot 10^{17}$	$4 M_{\odot}$	$2.6 \cdot 10^{-20}$
0.1	$3 \cdot 10^{17}$	$2.2 M_{\odot}$	$4 \cdot 10^{-20}$
Маленькие глобулы			
0.06	$1.8 \cdot 10^{17}$	$0.8 M_{\odot}$	$7.0 \cdot 10^{-20}$
0.02	$6 \cdot 10^{16}$	$0.1 M_{\odot}$	$2.3 \cdot 10^{-19}$
0.005	$1.5 \cdot 10^{16}$	$0.01 M_{\odot}$	$1.6 \cdot 10^{-18}$

онирующие звезды спектральных классов О и В, которые наблюдаются главным образом в ОВ-ассоциациях. Статистические исследования, проведенные Рэддишем [13] и Мисс Сим [31], показывают, что в распределении глобул по небу имеется хорошая корреляция именно с ОВ-ассоциациями, что приводит Рэддиша к выводу о космогоническом значении глобул. Задача о взаимодействии глобулы с горячим газом остатка Сверхновой имеет много общего с другой интересной задачей — о взаимодействии плотного облака в окрестности звезды раннего спектрального класса с ее мощным звездным ветром [14].

4. Давление и температура газа в остатках Сверхновых

Как известно, от места вспышки Сверхновой по межзвездной среде распространяется ударная волна. Когда потерями энергии на высвечивание за фронтом такой волны можно пренебречь, распространение волны происходит «самоподобно». Шкловским [15] получено выражение для T_2 — температуры за фронтом ударной волны и t — времени расширения в зависимости от R — радиуса остатка, применительно к вспышкам Сверхновых II типа в случае автомодельного разлета:

$$T_2 (\text{°К}) = 5 \cdot 10^{10} \left(\frac{E}{n_1 E_0} \right) \cdot R^{-3} (\text{пс});$$

$$t (\text{сек.}) = (3 \cdot 10^3 R (\text{пс}))^{5/2} \cdot \left(\frac{E_0 n_1}{E} \right)^{1/2}.$$

Здесь n_1 — плотность атомов межзвездной среды; E — энергия взрыва Сверхновой II типа; E_0 — некоторая стандартная энергия взрыва, типичная для остатков Сверхновых II типа с массой $\sim 1 M_{\odot}$; $E_0 = 0.75 \cdot 10^{51}$ эрг. Как видно, зависимость от R довольно сильная, поэтому мы в расчетах

будем обращаться к конкретной величине R , получаемой из наблюдений остатков Сверхновых W28 и W44, т. е. именно тех остатков, где наблюдаются OH-мазеры. Расстояние до W44 примерно равно 3 кпс [16], а до W28 — 3.3 кпс [17]. Это дает при наблюдаемых угловых размерах расстояние до R_{W44} порядка 13.5 пс и до R_{W28} — 14 пс. Принимая наблюдаемые размеры остатков за радиус фронта ударной волны [15], имеем для T_2 и t : $T_{(W44)} \simeq 2 \cdot 10^7 \left(\frac{E}{n_1 E_0}\right)^\circ\text{K}$; $t_{(W44)} \simeq 3.3 \cdot 10^{11} \left(\frac{E_0 n_1}{E}\right)^{1/2}$ сек.; $T_{(W28)} \simeq 1.8 \cdot 10^7 \left(\frac{E}{n_1 E_0}\right)^\circ\text{K}$; $t_{(W28)} \simeq 3.6 \cdot 10^{11} \left(\frac{E_0 n_1}{E}\right)^{1/2}$ сек.; n_1 , по-видимому, в этих условиях порядка 1 см^{-3} [15];

Плотность за фронтом сильной ударной волны возрастет в четыре раза (для $\gamma = 5/3$) $\rho_2 = 4\rho_0$, и газ при таких температурах полностью ионизован. Считая, что ионы и электроны дают одинаковый вклад в давление, получим:

$$P_2 = 8n_1 K T = 5.6 \cdot 10^{-5} \left(\frac{E}{E_0}\right) R^{-3} \text{ дин/см}^2,$$

$$P_{(W44)} = 2.24 \cdot 10^{-8} \left(\frac{E}{E_0}\right) \text{ дин/см}^2; P_{(W28)} = 2.0 \cdot 10^{-8} \left(\frac{E}{E_0}\right) \text{ дин/см}^2.$$

Мы видим, что при одинаковых энергиях вспышки Сверхновой остатки W28 и W44 очень близки по физическим параметрам.

5. Обтекание плотного облака горячим газом остатка Сверхновой

Выписывая выше выражения для температуры и давления за фронтом ударной волны T_2 и P_2 , мы подразумевали плазму термализованной и изотермичной ($T_i = T_e$). Но здесь следует заметить, что длина свободного пробега относительно кулоновских столкновений в такой плазме сравнима с размерами системы или больше ($l_{\text{кул}} \geqslant R$). Термализация в данном случае происходит не за счет столкновений, а вследствие развития за фронтом ударной волны ионно-звуковой турбулентности. Ширина фронта ударной волны также не определяется столкновениями. Она определяется в разных случаях размерами c/ω_{0e} , c/ω_{0i} или r_{Hi} [18]. Здесь ω_{0e} , ω_{0i} и r_{Hi} — электронная и ионная плазменные частоты и ларморовский радиус ионов соответственно. В случае развитой плазменной турбулентности за фронтом ударной волны длина свободного пробега частиц $l_{\text{эфф}}$ уменьшается из-за рассеяния частиц на плазменных волнах [19]. Эффективная длина свободного пробега для рассеяния на плазменной турбулентности в рассматриваемом случае много меньше размеров глобулы, и для обтекания глобулы справедливо гидродинамическое рассмотрение.

Для конкретного рассмотрения взаимодействия горячего газа с глобулой выберем из довольно неоднородной по своим параметрам совокупности всех наблюдаемых глобул лишь те, размеры которых близки к наблюдаемым размерам OH-источников, т. е. $3 \cdot 10^{16} \text{ см} < R < 3 \cdot 10^{17} \text{ см}$. В таких глобулах получим для плотности молекул H_2 $n_{H_2} = 3 \cdot 10^4 \div 10^5 \text{ см}^{-3}$. Водород при таких плотностях почти полностью находится в форме молекул H_2 [20]. Сами глобулы считаются уже гравитационно связанными и они не разлетаются, хотя давление внутри них больше, чем в окружающем межзвездном газе. Это накладывает ограничение на их температуру при заданных размерах и плотностях: $T < 10^\circ\text{K}$, тогда давление в глобуле $P = nkT \leqslant 1.4 \cdot 10^{-10} \text{ дин/см}^2$ (для $n_{H_2} \sim 10^5 \text{ см}^{-3}$), что много меньше давления в окружающем горячем газе остатка Сверхновой. Поэтому при обтекании таким газом вглубь глобулы пойдет ударная волна, речь о которой будет идти ниже. Важно отметить, что при обтекании глобулы давление на ее поверхности будет весьма неоднородным.

Это приведет к тому, что условия в самой глобуле с разных сторон относительно направления налетающего потока будут отличаться.

Поясним это подробнее. Для сильной ударной волны скорость газа за фронтом $U = \sqrt{\frac{2}{\gamma+1} \cdot \frac{P}{\rho_0}}$ (P — давление в ударной волне, ρ_0 — плотность перед фронтом), и так как плотность ρ_0 в глобуле на $4 \div 5$ порядков больше, чем в окружающем ее межзвездном газе, скорость вещества в ней на $2 \div 2.5$ порядка меньше, чем скорость газа, движущегося вокруг нее. Поэтому в первом приближении глобулу можно считать покоящейся в этом потоке. Поток, движущийся относительно глобулы, сверхзвуковой. Число Маха для него $M = \frac{U}{C_{\infty}} = \frac{\sqrt{2}/(\gamma+1)P/\rho_0}{\sqrt{\gamma P/\rho_1}} = \frac{\sqrt{2}}{\sqrt{\gamma}(\gamma-1)}$, так как в сильной волне $\rho_1 = \frac{\gamma+1}{\gamma-1} \rho_0$. Для $\gamma = 5/3$ $M = 3/\sqrt{5} \approx 1.35$.

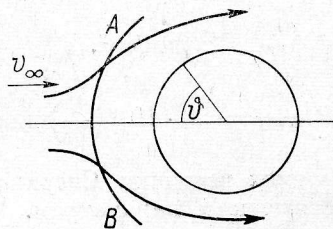


Рис. 1. Обтекание сферы сверхзвуковым потоком газа.

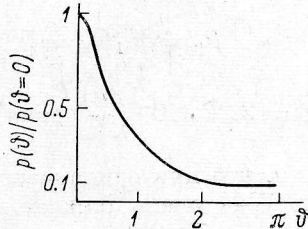


Рис. 2. Распределение давления по поверхности сферы при обтекании сверхзвуковым потоком при числе Маха, равном 1.35.

Таким образом, распределение давления на поверхности глобулы

описывается в первом приближении распределением давления на сфере при обтекании ее сверхзвуковым потоком с $M = 1.35$. Такого рода задачи решаются численными методами, развитыми в [21] и др. Но численные решения дают распределение давления лишь в ограниченном интервале углов θ (рис. 1), $\theta \leqslant 60^\circ$.

Для нас же интересен ход давления по всей поверхности. Поэтому мы воспользуемся результатами экспериментальных измерений хода давления при обтекании сферы потоком с небольшими числами Маха: $M = 2 \div 8$, приведенными в [22], и проэкстраполируем данные этих измерений к $M = 1.35$.

Результат экстраполяции приведен на рис. 2. Величина $P(\theta)/P(\theta = 0)$ сильнее, чем $\sin^2 \theta$, падает с увеличением θ , а начиная с $\theta \approx 2_{\text{рад}}$ до $\theta = \pi$, остается почти постоянной и равной примерно 0.1. Перед сферой «садится» отошедшая ударная волна (скакок), и, рассматривая условия на скачке и течение в области между скачком и поверхностью сферы, можно выразить давление в точке остановки, $P(\theta = 0)$, через параметры набегающего потока: P_∞ , v_∞ и M_∞ — плотность, скорость и число Маха вдали от сферы соответственно.

Для $\gamma = 5/3$ и $M_\infty = 3/\sqrt{5}$ получим $P(\theta = 0) \approx 3.8p$. Зная $P(\theta = 0)$ и функцию $P(\theta)/P(\theta = 0)$, мы можем рассмотреть распространение ударной волны в глобуле.

6. Ударная волна в глобуле

В связи с тем, что водород находится в основном в молекулярной форме, ударная волна в глобуле будет несколько отличаться от обычно рассматриваемых в межзвездной газодинамике. В некоторой зоне за

фронтом происходит возбуждение вращения молекул, а при более высоких температурах возможно и возбуждение колебаний, а также диссоциация. Как будет ясно из дальнейшего, двумя последними процессами в нашем случае можно пренебречь, так как температура за фронтом оказывается слишком малой и будет происходить интенсивное высвечивание, которое при рассматриваемых температурах связано главным образом с возбуждением вращательных уровней молекул H_2 при столкновениях с последующим спонтанным излучением.

Пока движением охвачен тонкий слой вблизи поверхности глобулы ударную волну можно считать локально плоской, и для кинетической температуры сразу за фронтом имеем (случай сильной волны): $\frac{T_1}{T_0} = \frac{\gamma - 1}{\gamma + 1} \cdot \frac{P_1}{P_0}$. Здесь T_1 и P_1 , T_0 и P_0 — температура и давление за фронтом и перед фронтом соответственно. Подставив $P_0 = n_0 k T_0$, где n_0 — плотность частиц перед фронтом для $\gamma = 5/3$, имеем $T_1 = \frac{P_1}{4kn_0}$. Например, подставив P_1 в точке $\vartheta = 0$ и взяв P_∞ равным давлению в остатке Сверхновой W44, а плотность в глобуле $n_0 \simeq 10^5 \text{ см}^{-3}$, получим для температуры за фронтом ударной волны

$$T_1 \simeq 1.5 \cdot 10^3 \left(\frac{E}{E_0} \right)^\circ \text{ К.}$$

Следует отметить, что при вычислении давления в ударной волне мы принимаем во внимание, что ОН-источник (в данном случае глобула) находится на краю оболочечной структуры остатка Сверхновой, и, следовательно, давление вокруг нее определяется формулами Шкловского [15].

На задней стороне глобулы давление в 10 раз меньше, чем при $\vartheta = 0$, и следовательно, температура за фронтом ударной волны в 10 раз меньше.

Скорость ударной волны в глобуле (с давлением P_∞ для W44 и $n_0 \sim 10^5 \text{ см}^{-3}$) $D = \sqrt{(\gamma + 1)/2} \cdot P_1/\rho_0 = 6 \cdot 10^5 (E/E_0)^{1/2}$ см/сек. Ударная волна охватывает область с размерами порядка размеров глобулы за время $t \sim R/D$, где R — радиус глобулы. Для $R \sim 10^{17} \text{ см}$ $t \simeq 1.7 \cdot 10^{11} (E_0/E)^{1/2}$ сек., что сравнимо с возрастом остатка Сверхновой.

Вследствие неоднородности давления по поверхности глобулы движение в передней, повернутой к налетающему потоку, части глобулы будет носить сложный характер. За фронтом ударной волны возникает движение по ϑ (вдоль поверхности), которое будет стремиться выравнять давление. Это приведет к изменению формы передней поверхности глобулы: она будет уплощаться, с тем чтобы давление вдоль фронтальной поверхности выравнилось. По-видимому, аналогичное явление имеет место при движении пузырьков газа в жидкости, когда наблюдаются изменение формы пузырька и циркуляция газа в нем [23] и при деформации жидкой капли в газовом потоке [32]. Значительное уплощение фронтальной поверхности будет происходить за время того же порядка

$$t \simeq \frac{R}{D} = 10^{11} \text{ сек.}$$

Ширина фронта Δ , в котором происходит скачок температуры поступательных степеней свободы, порядка длины свободного пробега $\lambda \Delta \sim \lambda \sim 1/n \sigma$; σ — газокинетическое сечение, $\sigma \sim 10^{-16} \text{ см}^2$, тогда $\Delta \sim 10^{11} \text{ см}$, а характерное время столкновений $\tau_{\text{пост}} \sim \Delta/V_T \sim 2 \cdot 10^5 \text{ сек}$. Вращательные степени свободы возбуждаются за десятки столкновений [31, 24], или соответственно за время $\tau_{\text{вр}} < 2 \cdot 10^6 \text{ сек}$. Кинетическая температура при этом уменьшается в 1.5 раза. Это соответствует изменению фактора

$(\gamma - 1)/(\gamma + 1)$ от $1/4$ до $1/6$. В нашем случае в зоне, где уже возбуждено вращение на фронтальной стороне,

$$T_1 \simeq 1000 \left(\frac{E}{E_0} \right) ^{\circ}\text{K},$$

и соответственно на тыльной стороне $T_1 \simeq 100 (E/E_0) ^{\circ}\text{K}$. Колебания H_2 при таких температурах возбуждаться не будут, так как энергия колебательного кванта молекулы H_2 соответствует $T = 6100 ^{\circ}\text{K}$.

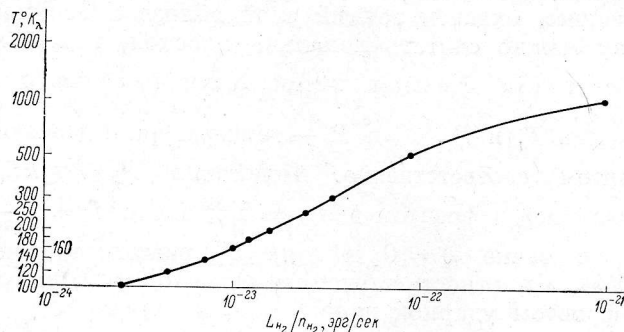


Рис. 3. Светимость в зависимости от температуры T .

При рассматриваемых условиях основным процессом высвечивания является возбуждение вращательных уровней H_2 при столкновениях и последующее спонтанное излучение; распределение молекул по вращательным уровням будет больцмановским лишь до $K \simeq 10 - 12$, а более высокие уровни заселены гораздо слабее [25] и вклада в высвечивание не дают.

В этом случае светимость единицы объема L пропорциональна n_{H_2} . Расчеты для величины $Q(T) = L/n_{\text{H}_2}$ дают зависимость от температуры, приведенную на рис. 3.

Движение вещества за фронтом ударной волны с высвечиванием можно найти, если вместо уравнения сохранения энергии в потоке использовать уравнение

$$-L(T, \rho) = P \frac{d}{dt} \ln \left(\frac{T^{3/2}}{\rho} \right),$$

которое следует из термодинамического тождества $dQ = C_V T dT + pdV$, примененного к идеальному газу. Здесь L — энергия, излучаемая в 1 см^3 за 1 сек.: $d/dt = V(d/dr)$ — лагранжева производная.

В случае одномерной ударной волны с высвечиванием за фронтом [26] получено дифференциальное уравнение для распределения плотности и температуры по координате. Решение аналогичной трехмерной задачи нам неизвестно. Но так как при уплощении фронтальной поверхности глобулы ударная волна становится близкой к плоской, для получения распределения температуры, плотности и скорости по радиусу мы воспользуемся расчетами для одномерного случая.

Рис. 4. Распределение температуры и плотности за фронтом ударной волны с высвечиванием ($E=2E_0$).
— T — температура за фронтом,
— r — расстояние от фронта.

С помощью кривой охлаждения $Q(T)$, приведенной на рис. 3, был сделан расчет для распределения температуры и плотности за фронтом

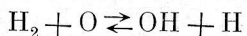
ударной волны (было положено $E/E_0 = 2$). Результаты приведены на рис. 4. При значении параметра $E/E_0 \approx 1$ амплитуда ударной волны и плотность в глобуле будут соответственно вдвое меньше. Вторичный нагрев глобулы окружающим ее горячим газом происходит все время после прохождения ударной волны вглубь глобулы.

Влияние горячего газа с $T \sim 10^7$ К сводится к образованию ионизационного фронта, идущего вслед за ударной волной, но со скоростью в несколько раз меньшей. Толщина такого ионизационного фронта определяется пробегом протонов и электронов с энергией ~ 1 кэв. Сечение ионизации $10^{-16} \div 10^{-17}$ см² [27], а плотность вещества глобулы за фронтом ударной волны $n \sim 10^6$ см⁻³. Энергия 1 кэв отдается примерно за 100 столкновений, поэтому толщина ионизационного фронта $d \sim \sim (100/n\sigma) \sim 10^{12} \div 10^{13}$ см.

Таким образом, за ударной волной будет следовать горячий светящийся «рим», аналогичный «римам» в областях НII.

7. Образование молекул OH

Образование молекул OH при $T \sim 1000$ К по реакции



рассматривалось в работе [27] применительно к сталкивающимся межзвездным облакам. Было показано, что уже при относительном содержании $n_{H_2}/n_H \sim 1$ в молекулы OH связывается половина кислорода. В случае, когда молекулы H₂ доминируют, в OH будет связываться почти весь кислород. При дальнейшем охлаждении содержание OH остается на уровне, соответствующем равновесному при $T \sim 1000$ К, так как время установления нового равновесия при более низких температурах много больше времени охлаждения. Время же установления равновесной концентрации OH при $T \sim 1000$ К порядка $5 \cdot 10^6$ сек. при $n_{H_2} \sim 10^6$ см⁻³. Как видно из рис. 4, времени для установления равновесия при $T \sim 1000$ К достаточно, так как интервал $\Delta r \sim 10^{13}$ см за фронтом ударной волны, в котором T меняется от 2000° К до 1000° К, соответствует временному интервалу $\Delta t = \Delta r/v$, что при скорости ударной волны $V = 6 \cdot 10^5$ см/сек. дает $\Delta t = 2 \cdot 10^7$ сек. Таким образом, считая относительное обилие кислорода $\frac{n_0}{n_{H_2}} \sim 10^{-4}$, получим довольно высокое содержание молекул OH, $n_{OH} \sim 10^2 \div 10^3$ см⁻³.

8. Механизм накачки. Коэффициент усиления

Одним из хорошо рассчитанных механизмов накачки инверсной населенности в состоянии основного А-дублета молекулы OH является механизм инфракрасной накачки, предложенный Шкловским [2] и развитый Литваком [4]. Кажется, что этот механизм может в рассматриваемой модели объяснить некоторые наблюдаемые характеристики OH-источников вблизи остатков Сверхновых. Этот механизм представляет собой накачку излучением в линиях, соответствующих переходу из основного состояния в ближайшие вращательные состояния. Оптическая толщина в резонансной линии 126 см⁻¹, соответствующей переходу $\Pi_{3/2}(J=3/2, F=1) \rightarrow \Pi_{1/2}(J=1/2, F=1)$, τ_{11} , равна единице при $n_{OH} \cdot l \cdot \nu/\delta\nu = 1.4 \times 10^{21}$ см². При $\nu/\delta\nu \sim 10^6$ ($T \sim 100 \div 200$ К) это соответствует $n_{OH}l = 1.4 \cdot 10^{15}$. При толщине слоя $l \approx 3 \cdot 10^{13}$ см (см. рис. 4) это соответствует плотности $n_{OH} \sim 50$ см⁻³. Так как плотность молекул OH в слое с $T = 100 \div 200$ К больше 100, т. е. $\tau_{11} > 2$, то излучение этого слоя в линии 126 см⁻¹ будет иметь тепловую интенсивность, соответствующую $T \sim$

$\sim 100 \div 200^\circ$ К. Как показывают расчеты Литвака [4], в соседних с этим накачивающим слоем объемах под действием теплового 100° К потока в резонансных далеких инфракрасных линиях создается инверсная населенность в основном Λ -дублетном состоянии молекулы OH. При оптической толщине τ_{11} накачиваемого объема порядка 0.7 в задней половине объема инвертируется переход, соответствующий излучению в линии 1720 МГц.

Усиление на проход в этом случае равно

$$\int_{l_{02}}^{l_0} \alpha dl \simeq 9.2 ; \left(I = I_0 \exp \left(\int_{l_{02}}^{l_0} \alpha dl \right) \right).$$

Этот результат получен в предположении, что плотность частиц достаточно мала, и столкновения не тушат накачку. К сожалению, плотность частиц, при которой сравниваются скорость инфракрасной накачки и скорость снятия возбуждения столкновениями, в настоящее время хорошо неизвестна из-за незнания соответствующего сечения столкновений. Литвак [29] дает для этой плотности значение $n_{kp} \sim 10^6$ см $^{-3}$. При увеличении плотности частиц n_{H_2} выше критической величина инверсной населенности и соответственно коэффициент усиления уменьшаются в отношении n_{kp}/n_{H_2} . Слой OH с $T=200 \div 300^\circ$ К имеет плотность $n_{H_2} \simeq (4 \div 6) \cdot 10^6$ см $^{-3}$ при $E/E_0=2$ и $n_{H_2}=(2 \div 3) \cdot 10^6$ см $^{-3}$ при $E/E_0=1$. С другой стороны, усиление может увеличиваться, когда излучение проходит под некоторым углом к нормали усиливающего слоя. Увеличение оптического пути в этом случае пропорционально $\cos\theta$ (θ — угол между нормалью к слою и лучом зрения). Полное выражение для усиления в этом случае тогда будет

$$I = I_0 \exp \left(9.2 \cdot \frac{10^6}{n_{H_2}} \cos\theta \right),$$

и для получения усиления $\sim 10^4$ необходимо, чтобы $10^6/n_{H_2} \cdot \cos\theta \sim 1$ ($\cos\theta = 2$ для $\theta = 60^\circ$).

9. Обсуждение. Сравнение с наблюдениями

Предлагаемая модель рисует некоторую картину явления, которую интересно сравнить с наблюдениями.

Рассматриваемые OH-источники находятся на периферии оболочечной структуры остатков Сверхновых, и их взаимодействие происходит сравнительно недолго, лишь часть времени жизни остатка. Так как возраст остатков $t \sim 3 \cdot 10^{11}$ сек., а время, необходимое для прохождения ударной волной в глобуле расстояния, порядка радиуса глобулы $\sim 10^{11}$ сек., то можно, по-видимому, считать, что не вся глобула охвачена ударной волной, а ее структура, подобна представленной на рис. 5. Вокруг нее находится горячий газ с релятивистскими электронами, синхротронное излучение которых на частоте 1720 МГц усиливается, проходя слой с инверсной населенностью.

Геометрия источника такова, что мы видим усиленное излучение сквозь еще холодный объем глобулы, бедный молекулами OH, поэтому в нем не возникает дополнительного поглощения. Поглощение же молекулами OH в слоях, более близких к поверхности фронта, несущественно из-за значительного градиента скорости и плотности за фронтом.

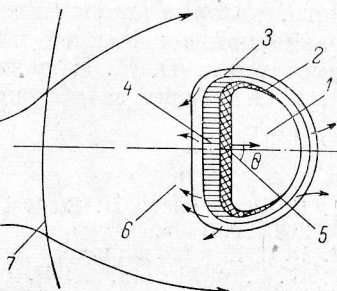
Допплеровская полуширина линии 1720 МГц в OH-мазерах в остатках Сверхновых (порядка 1 км/сек.) может быть, по-видимому, также объяснена градиентом скорости в усиливающем слое. В то же время двойственная структура линии остается пока непонятной. Возможно, ее

можно будет понять в более сложной модели источника, в которой усиление происходит, например, в двух диаметрально противоположных объемах глобулы, движущихся вследствие ударной волны навстречу друг другу с относительной скоростью порядка нескольких километров в секунду. Поглощение в остальных линиях основного А-дублета должно происходить в описанной модели в тех же слоях, что и усиление. Поэтому лучевые скорости линий поглощения должны быть близки к скорости линии 1720 Мгц.

Здесь следует сказать о некоторой неопределенности, возникающей при определении температуры (T_2) и давления (P_2) горячего газа в остатке Сверхновой. В расчетах за радиус фронта ударной волны R_2 принимался видимый радиус оболочечной структуры остатка. Возможно, что видимая оболочечная структура является расширяющимся поршнем, излучающим в радиодиапазоне в основном за счет выброшенных во время вспышки релятивистских электронов. В этом случае радиус ударной волны $R_2 = 1.1 R$, R — радиус наблюдаемой оболочечной структуры. (В общем случае $R \leq R_2 \leq 1.1R$). Температура и давление горячего газа за

Рис. 5. Примерная структура области, связанной с ОН-источником.

1 — усиливающий слой (двойная штриховка), 2 — фронт ударной волны, 3 — «крим» — слой ионизованного водорода большой плотности, 4 — слой, светящий в линиях H_2 , 5 — направление на наблюдателя, 6 — оттекающий ионизованный газ, 7 — скачок (отошедшая ударная волна в налекающем потоке).



фронтом ударной волны при той же энергии вспышки E будут в этом случае в 1,3 раза меньше. К сожалению, из наблюдательных данных величина E не определяется. Поэтому, увеличив E в 1,3 раза, мы оставим все расчеты в силе. Ввиду большой неопределенности в выборе энергии вспышки очень важными являются наблюдения, позволяющие выяснить, насколько описанная модель близка к реальной картине. При рассмотрении образования OH не учитывались другие реакции. Возможно, однако, что значительная доля атомов кислорода в глобуле связана в молекулы H_2O и выморожена на пылинках. В этом случае при прохождении по глобуле ударной волны значительная часть молекул OH будет образовываться после испарения молекул H_2O с пылинок и последующей фотодиссоциации. Молекула H_2O участвует в создании молекул OH и в случае рассмотренной реакции: $O + H_2 \rightarrow OH + H$ [24], так как при большом содержании H_2 важна реакция $OH + H_2 \rightarrow H_2O + H$ с дальнейшей фотодиссоциацией: $H_2O \rightarrow OH + H$. При образовании OH по этой реакции возможна химическая накачка, которая в работе не рассматривается.

При некоторой неопределенности в механизмах образования OH и накачки мазера модель совершенно определенно предсказывает существование зоны высвечивания за фронтом ударной волны в глобуле, излучающей в инфракрасных линиях молекулы H_2 и существование вокруг OH-источника плотной области HII с $T \sim 20\ 000^\circ K$ и $n \sim 10^4 \text{ см}^{-3}$. Наиболее интенсивными должны быть линии $\lambda = 56 \text{ мк}$ и $\lambda = 28 \text{ мк}$, соответствующие вращательным переходам $K=2 \rightarrow K=1$ и $K=2 \rightarrow K=0$. Поток в этих линиях у Земли будет порядка $10^{-11} - 10^{-12} \text{ эрг}/\text{см}^2 \cdot \text{сек}$. К сожалению, эта величина ниже сегодняшнего инструментального предела.

Имеется, по-видимому, возможность наблюдать ионизационный фронт в радиодиапазоне. Мера эмиссии может достигать в нем значения

$ME \sim 10^5$. Какой поток можно ожидать в радиодиапазоне? Оптическая толщина становится порядка меньше единицы на частоте $\nu \geq 2 \cdot 10^8$ Гц [30]. На частотах $\nu \leq 10^8$ Гц яркостная температура $T_b = \text{const} \approx 2 \cdot 10^4$ К и поток $F_\nu = (2kT_b/\lambda^2) \cdot \Omega \sim 6 \cdot 10^{-22}/\lambda^2$ (эр/см²·сек·Гц) для $\lambda > 150$ см; при $\tau < 1$ $F_\nu = 10^{-21} \cdot ME \cdot \Omega \sim 1.5 \cdot 10^{-26}$ (эр/см²·сек·Гц) ($\Omega \sim 3 \cdot 10^{-10}$). Тщательные наблюдения с длительным накоплением сигнала могли бы выделить эту тепловую компоненту радиоизлучения, возникающую в плотной зоне ионизованного водорода.

К сожалению, несмотря на достаточно большую меру эмиссии в оптическом диапазоне излучение этого горячего слоя из-за сильного поглощения пылью в плоскости Галактики, где лежат W44 и W28, заметить нельзя. На месте OH-источника должно наблюдаться диффузное пятно с размером $3'' - 4''$ и потоком, соответствующим $19^m + 20^m$ (при поглощении $A_\nu = 3^m - 4^m$).

Автору приятно поблагодарить Д. А. Варшавовича и Ю. Н. Парийского, которые привлекли его внимание к проблеме OH-источников и неизменной поддержкой и советами которых он пользовался. Он также признателен Ю. Н. Лунькину, С. Б. Пикельнеру, Л. А. Пустильнику и Ю. Г. Хабазину за обсуждение отдельных вопросов и замечания.

Л и т е р а т у р а

1. H. Weaver, D. R. Williams, N. H. Dieter, W. T. Lum, *Nature*, **208**, 29, 1965.
2. И. С. Шкловский, Астр. цирк., № 372, 1966, Астр. цирк., № 424, 1967.
3. W. J. Wilson, A. H. Vaggert, I. M. Mogahn, *Astrophys. J.*, **160**, 545, 1970.
4. M. M. Litvak, *Astrophys. J.*, **156**, 471, 1969.
5. B. J. Gross, W. M. R. N. Manchester, *Australian J. Phys.*, **23**, No. 3, 1970.
6. E. Hardebeck, *Astrophys. J.*, **170**, 281, 1971.
7. R. Boyd and M. W. Werner, *Astrophys. J. Lett.*, 1972.
8. V. C. Reddish, *Commun. R. Obs. Edinburgh*, No. 88, 1970.
9. P. Mezger and B. J. Robinson, *Nature*, **220**, 1107, 1968.
10. T. K. Menon, *Astrophys. J. Lett.*, **150**, 167, 1967.
11. B. Bok et al., «Symposium on dark nebulae, glob. and protost.», Tucson, 1970.
12. И. С. Шкловский, Астр. ж., **37**, 369, 1960; A. Blaauw, *Bull. Astron. Instit. Netherlands*, **15**, 265, 1961.
13. V. C. Reddish, *Commun. R. Obs. Edinburgh*, No. 89, 1971.
14. В. С. Стрельницкий и Р. А. Сюняев, Астр. ж., **49**, 704, 1972.
15. И. С. Шкловский, Сверхновые звезды. Изд-во «Наука», 1966.
16. D. K. Milne, T. L. Wilson, *Astron. Astrophys.*, **10**, 220, 1971.
17. S. A. Ilovaisky, I. Lequeux, *Astron. Astrophys.*, **18**, 169, 1972.
18. А. А. Веденов. Теория плазмы. ВИНИТИ 1966.
19. В. Н. Цытович. Теория турбулентной плазмы. Атомиздат, 1971.
20. D. I. Hollenbach, M. W. Werner, E. E. Salpeter, *Astrophys. J.*, **163**, 165, 1971.
21. О. М. Белоцерковский, Прикл. матем. и мех., **24**, вып. 3, 511, 1960.
22. Труды ВЦ АН СССР. Обтекание затупленных тел сверхзвуковым потоком газа, 1967.
23. М. Су. Газодинамика многофазных систем. Изд-во «Мир», М., 1966.
24. Я. Б. Зельдович и Ю. И. Райзнер. Физика ударных волн и высокотемпературных гидродинамических явлений. Изд-во «Наука», М., 1966.
25. K. Takayanagi, S. Nishimura, *Publ. Astron. Soc. Japan*, **12**, 77, 1960.
26. С. А. Каплан. Межзвездная газодинамика. Физматгиз, М., 1958.
27. T. O. Sargent and E. E. Salpeter, *Astrophys. J.*, **143**, 609, 1966.
28. И. Мак-Даниэль. Процессы столкновений в ионизованных газах. Изд-во «Мир», М., 1967.
29. M. M. Litvak, *Science*, **165**, 855, 1969.
30. С. А. Каплан, Пикельнер С. Б., «Межзвездная среда», Физматгиз, М., 1963.
31. M. E. Sims, *Publ. Roy. Obs. Edinburgh*, **6**, No. 8, 1968.
32. Г. А. Салтанов. Сверхзвуковые двухфазные течения, Минск, Изд-во «Вышэйшая школа», 1972.